


# 姿勢整列問題に置ける収束の速さとゲーム理論との関係に関する一考察

Tokyo Institute of Technology

## 姿勢整列問題に置ける収束の速さとゲーム理論との関係に関する一考察



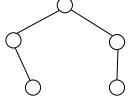
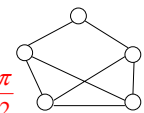
FL06-32-02  
五十嵐裕司

Tokyo Institute of Technology Fujita Laboratory

Tokyo Institute of Technology

## ここまでの流れ

- **制御目標** 3次元姿勢整列問題(3D Alignment)  
 $R_i = R_j \quad \forall i, j \quad t \rightarrow \infty$   
 全てのエージェントの姿勢が一致すること
- **解析**  
 (理論シンボ) ポテンシャル関数 **相対姿勢のエネルギー関数**  
 $V = \sum_{i=1}^n \sum_{j \in N_i} \phi(R_i^T R_j) := \sum_{i=1}^n \frac{1}{2} \text{tr}(I_3 - R_i^T R_j)$   
 仮定 グラフは無向, 固定, 連結, 木
- (12/21のFLゼミ) ポテンシャル関数 **個々のエネルギー関数**  
 $V = \sum_{i=1}^n \phi(R_i) := \sum_{i=1}^n \frac{1}{2} \text{tr}(I_3 - R_i)$   
 仮定 グラフは無向, 固定, 連結, ~~木~~  $-\frac{\pi}{2} < \theta_i < \frac{\pi}{2}$

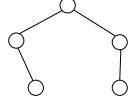
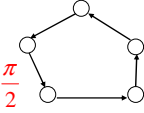



Tokyo Institute of Technology Fujita Laboratory

Tokyo Institute of Technology

## 本日の発表

- **解析**  
 (理論シンボ) ポテンシャル関数 **相対姿勢のエネルギー関数**  
 $V = \sum_{i=1}^n \sum_{j \in N_i} \phi(R_i^T R_j) := \sum_{i=1}^n \frac{1}{2} \text{tr}(I_3 - R_i^T R_j)$   
 仮定 グラフは無向, 固定, 連結, 木
- (本日の発表) ポテンシャル関数 **個々のエネルギー関数**  
 $V = \sum_{i=1}^n \phi(R_i) := \sum_{i=1}^n \frac{1}{2} \text{tr}(I_3 - R_i)$   
 仮定 グラフは**平衡**, 固定, **強連結**, ~~木~~  $-\frac{\pi}{2} < \theta_i < \frac{\pi}{2}$
- グラフの構造と収束の速さ
- 微分ゲームとの関係

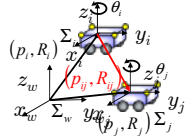
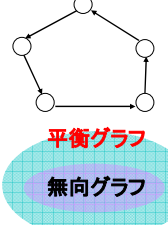



Tokyo Institute of Technology Fujita Laboratory

Tokyo Institute of Technology

## 問題設定

- **各エージェントの3次元運動モデル** ( $i = 1, \dots, n$ )  
 $\dot{p}_i = R_i v_i \quad p_i \in \mathcal{R}^3 \quad \text{位置}$   
 $\dot{R}_i = R_i \hat{\omega}_i \quad R_i \in SO(3) \quad \text{姿勢}$   
 $\begin{bmatrix} \omega_1 \\ \omega_2 \\ \omega_3 \end{bmatrix} = \begin{bmatrix} 0 & -\omega_3 & \omega_2 \\ \omega_3 & 0 & -\omega_1 \\ -\omega_2 & \omega_1 & 0 \end{bmatrix} v_i \in \mathcal{R}^3 \quad \text{並進速度}$   
 $\omega_i \in \mathcal{R}^3 \quad \text{角速度}$
- **エージェント間の接続関係**: グラフで表す  
 グラフ: 頂点(node)と辺(edge)で構成  
 頂点集合  $V := \{1, \dots, n\}$   
 辺集合  $E \subseteq V \times V$   
 グラフ  $G = (V, E)$
- **仮定 (A)**  
 グラフは**平衡**, 固定, **強連結**  $R_i > 0 \quad \forall i$

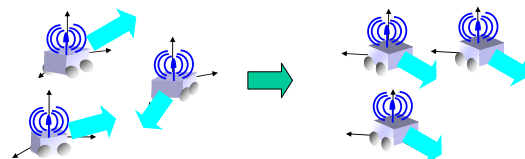



Tokyo Institute of Technology Fujita Laboratory

Tokyo Institute of Technology

## 制御目的

- **仮定 (B)**  
 $|v_i| = 1 \quad \forall i$  全てのエージェントの速度は定数で速さは正規化されている
- **制御目標** 3次元姿勢整列問題(3D Alignment)  
 $R_i = R_j \quad \forall i, j \quad t \rightarrow \infty$   
 全てのエージェントの姿勢が一致すること

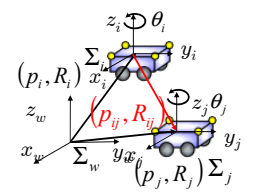


Tokyo Institute of Technology Fujita Laboratory

Tokyo Institute of Technology

## 制御入力の提案

- **制御入力**  
 $\omega_i = \sum_{j \in N_i} e_R(R_{ij}) \quad (2)$   
 $R_{ij} := R_i^T R_j \quad \text{相対姿勢}$   
 $e_R(R) := \frac{1}{2} (R - R^T)^\vee$   
 $N_i$ : エージェント  $i$  と接続しているエージェントの集合
- **例** 2次元  
 $R_i = \begin{bmatrix} \cos \theta_i & -\sin \theta_i & 0 \\ \sin \theta_i & \cos \theta_i & 0 \\ 0 & 0 & 1 \end{bmatrix}$   
 $R_j = \begin{bmatrix} \cos(\theta_j - \theta_i) & -\sin(\theta_j - \theta_i) & 0 \\ \sin(\theta_j - \theta_i) & \cos(\theta_j - \theta_i) & 0 \\ 0 & 0 & 1 \end{bmatrix}$   
 $\omega_i = e_R(R_{ij}) = \frac{1}{2} (R_j - R_i^T)^\vee = \begin{bmatrix} 0 \\ 0 \\ \sin(\theta_j - \theta_i) \end{bmatrix}$



Tokyo Institute of Technology Fujita Laboratory

# 姿勢整列問題にける収束の速さとゲーム理論との関係に関する一考察

Tokyo Institute of Technology

**証明**

エネルギー関数  
 $\phi(R_i) := \frac{1}{2} \text{tr}(I_3 - R_i) \quad \dot{\phi}(R_i) = e_R^T(R_i) \omega_i^b$

ポテンシャル関数  
 $V = \sum_{i=1}^n \phi(R_i) := \sum_{i=1}^n \frac{1}{2} \text{tr}(I_3 - R_i)$

合意問題の場合  
 $V(x) = \frac{1}{2} x^T x$   
 $\dot{V}(x) = x^T \dot{x} = y^T u$

$\dot{V} = \sum_{i=1}^n \dot{\phi}(R_i) = \sum_{i=1}^n e_R^T(R_i) \omega_i^b$   
 $= \sum_{i=1}^n e_R^T(R_i) \sum_{j \in N_i} e_R(R_{ij}) \quad \omega_i = \sum_{j \in N_i} e_R(R_{ij})$

**(12/21のFLゼミ)**  
 $= \sum_{i=1}^n \sum_{j \in N_i} e_R^T(R_i) e_R(R_{ij})$

グラフが無向だから  $e_R^T(R_i) e_R(R_{ij})$  という項が存在すると  $e_R^T(R_j) e_R(R_{ji})$  という項が必ず存在し...

Fujiita Laboratory 7

Tokyo Institute of Technology

**証明**

**(12/21のFLゼミ)**  
 $e_R^T(R_i) \sum_{j \in N_i} e_R(R_{ij}^T R_j)$   
 $= \sum_{j \in N_i} -\frac{1}{2} \text{tr}(I - R_i) + \frac{1}{2} \text{tr}(I - R_j) - \frac{1}{4} \text{tr}((R_i + R_i^T)(I - R_i^T R_j))$

もし、 $A, B$  準正定であるが対称でない行列の場合  
 $\lambda_{\max}(B + B^T) \text{tr}(A) \leq \text{tr}((B + B^T)A) \leq \lambda_{\max}(B + B^T) \text{tr}(A)$

$\leq \sum_{j \in N_i} -\frac{1}{2} \text{tr}(I - R_i) + \frac{1}{2} \text{tr}(I - R_j) - \frac{1}{4} \lambda_{\min}(R_i + R_i^T) \text{tr}(I - R_i^T R_j)$   
 $= \phi(R_i) - \phi(R_j) - \frac{1}{4} \lambda_{\min}(R_i + R_i^T) \phi(R_i^T R_j)$

$= \sum_{(i,j) \in E} -\phi(R_i) + \phi(R_j) - \frac{1}{2} \lambda_{\min}(R_i + R_i^T) \phi(R_i^T R_j)$

Fujiita Laboratory 8

Tokyo Institute of Technology

**証明**

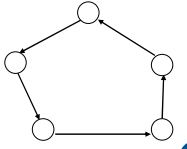
$\dot{V} = \sum_{i=1}^n \dot{\phi}(R_i) = \sum_{i=1}^n e_R^T(R_i) \omega_i^b = \sum_{i=1}^n e_R^T(R_i) \sum_{j \in N_i} e_R(R_{ij})$

**(12/21のFLゼミ)**  
 $= \sum_{i=1}^n \sum_{j \in N_i} e_R^T(R_i) e_R(R_{ij})$

**(本日のゼミ)**  
 $\leq \sum_{i=1}^n \sum_{j \in N_i} -\phi(R_i) + \phi(R_j) - \frac{1}{2} \lambda_{\min}(R_i + R_i^T) \phi(R_i^T R_j)$

グラフが平衡だから  
 $\sum_{i=1}^n \sum_{j \in N_i} \phi(R_i) = \sum_{i=1}^n \sum_{j \in N_i} \phi(R_j)$

$\sum_{i=1}^n \sum_{j \in N_i} (-\phi(R_i) + \phi(R_j)) = 0$



Fujiita Laboratory 9

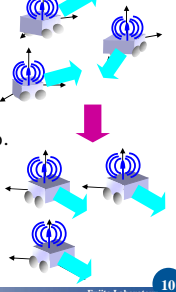
Tokyo Institute of Technology

**証明**

$\dot{V} = \sum_{i=1}^n \dot{\phi}(R_i) = \sum_{i=1}^n e_R^T(R_i) \omega_i^b = \sum_{i=1}^n e_R^T(R_i) \sum_{j \in N_i} e_R(R_{ij})$   
 $\leq \sum_{i=1}^n \sum_{j \in N_i} -\phi(R_i) + \phi(R_j) - \frac{1}{2} \lambda_{\min}(R_i + R_i^T) \phi(R_i^T R_j)$   
 $\leq -\sum_{i=1}^n \sum_{j \in N_i} \frac{1}{2} \lambda_{\min}(R_i + R_i^T) \phi(R_i^T R_j)$   
 $\leq 0$

あとはラサールの定理を用いて収束を証明する。

- 制御目標  
 $R_i = R_j \quad \forall i, j \quad t \rightarrow \infty$   
 が達成される。



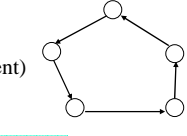
Fujiita Laboratory 10

Tokyo Institute of Technology

**まとめ**

- 各エージェントの3次元運動モデル ( $i = 1, \dots, n$ )  
 $\dot{p}_i = R_i v_i \quad p_i \in \mathcal{R}^3$  位置  
 $\dot{R}_i = R_i \hat{\omega}_i \quad R_i \in SO(3)$  姿勢  
 ● 制御入力  $v_i \in \mathcal{R}^3$  並進速度  
 $\omega_i = \sum_{j \in N_i} e_R(R_{ij}) \quad \omega_i \in \mathcal{R}^3$  角速度
- 仮定  
 グラフは平衡, 固定, 強連結  $R_i > 0 \quad \forall i$
- 制御目標 3次元姿勢整列問題(3D Alignment)  
 $R_i = R_j \quad \forall i, j \quad t \rightarrow \infty$
- ポテンシャル関数  $V = \sum_{i=1}^n \phi(R_i) := \sum_{i=1}^n \frac{1}{2} \text{tr}(I_3 - R_i)$

すべてのエージェントの姿勢が一致すること



Fujiita Laboratory 11

Tokyo Institute of Technology

**グラフ構造と収束の速さ**

- グラフの構造と収束の速さ  
 合意(Consensus)問題の場合  
 グラフラプラジアン  $L$  の2番目に小さい固有値  $\lambda_{\min_2}(L)$  が大きいグラフ構造ほど収束が早い。
- この証明のポイント  
 ● 一致する場合  $\alpha = \frac{1}{n} \sum_{i=1}^n x_i(0)$   
 ● 偏差  $\delta_i = x_i - \alpha$   
 $V = \frac{1}{2} \sum_{i=1}^n \delta_i^2 = \frac{1}{2} \delta^T \delta = \frac{1}{2} \sum_{i=1}^n (x_i - \alpha)$   
 クーラン・フィッシャーの(ミニマックス)定理  $\dot{\delta} = \dot{x} - \dot{\alpha} 1 = \dot{x} - Lx = -L\delta$   
 $\lambda_2(L) = \min_{\delta \perp 1} \frac{\delta^T L \delta}{\delta^T \delta}$   
 $\delta \perp 1 \Leftrightarrow \delta^T 1 = 0$

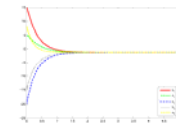
Fujiita Laboratory 12

# 姿勢整列問題にける収束の速さとゲーム理論との関係に関する一考察

### グラフ構造と収束の速さ

Tokyo Institute of Technology

- グラフの構造と収束の速さ  
姿勢整列問題の場合  
一致する場所がわかっていないため、直接この方法を用いることはできない。  
↓  
別の証明方法を考える必要がある。
- 話の流れ  
合意問題の場合の別の証明方法  
↓  
姿勢整列問題の場合に適応

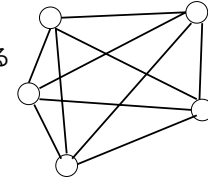


13

### グラフ構造と収束の速さ

Tokyo Institute of Technology

- 問題はポテンシャル関数の選び方  
全てのエージェント間の誤差の総和を考える  
$$V = \frac{1}{4} \sum_{i=1}^n \sum_{j=1}^n \|x_i - x_j\|_2^2 = \frac{1}{2} x^T M x$$
- ポテンシャル関数の選び方のポイント  
グラフの構造に依存しない関数  
→  $V = \frac{1}{2} x^T L x$  は不適切  
制御目標の達成と関連付けられる関数  
→  $V = \frac{1}{2} x^T x$  は不適切



完全グラフ

14

### グラフ構造と収束の速さ

Tokyo Institute of Technology

$V = \frac{1}{4} \sum_{i=1}^n \sum_{j=1}^n \|x_i - x_j\|_2^2 = \frac{1}{2} x^T M x$  を微分すると

$M = D - A = nI - 11^T$

$\dot{V} = x^T M \dot{x}$

$= -x^T M L x$

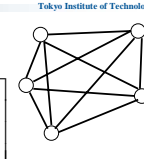
$= -x^T (nI - 11^T) L x$

$= -x^T (nL - 11^T L) x$

グラフが平衡グラフであると  $1^T L = 0$

$= -n x^T L x$

→  $ML = nL$



15

### グラフ構造と収束の速さ

Tokyo Institute of Technology

$\dot{V} = x^T M \dot{x}$        $MLM = nLM = n^2 L$

$= -n x^T L x$        $MLM = n^2 L$        $L1 = 0$

$= -\frac{1}{n} x^T M L M x$        $(Mx)^T 1 = x^T M^T 1 = 0 \quad \forall x$

クーラン・フィッシャーの(ミニマックス)定理

$\lambda_{\min 2}(L) = \min_{(Mx)^T 1=1} \frac{x^T M^T L M x}{x^T M^T M x}$       →  $\lambda_{\min 2}(L) x^T M^T M x \leq x^T M^T L M x$

$\leq -\frac{1}{n} \lambda_{\min 2}(L) x^T M M x$        $MM = (nI - 11^T)(nI - 11^T)$

$= -\lambda_{\min 2}(L) x^T M x$        $= n^2 I - 2n11^T + 11^T 11^T$

$= -2\lambda_{\min 2}(L) V$        $= n^2 I - 2n11^T + n11^T$

$V(t) = V(0) e^{-2\lambda_{\min 2}(L)t}$        $= n(nI - 11^T)$

$= nM$

16

### グラフ構造と収束の速さ

Tokyo Institute of Technology

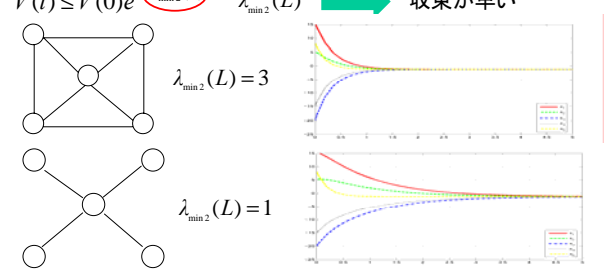
$\dot{V} = x^T M \dot{x}$        $V = \frac{1}{4} \sum_{i=1}^n \sum_{j=1}^n \|x_i - x_j\|_2^2 = \frac{1}{2} x^T M x$

$\leq -2\lambda_{\min 2}(L) V$

比較定理より

$V(t) \leq V(0) e^{-2\lambda_{\min 2}(L)t}$        $\lambda_{\min 2}(L)$  → 収束が早い

一致する場所がわかっていなくても収束の速さを議論することはできる



17

### グラフ構造と収束の速さ

Tokyo Institute of Technology

- 話の流れ  
合意問題の場合の別の証明方法  
↓  
姿勢整列問題の場合に適応
- 準備  
回転行列  $R_i, R_j$  が正定行列ならば以下の不等式が成り立つ  
$$\frac{1}{2} \phi(R_i^T R_j) \leq \phi(R_i) + \phi(R_j)$$
  
↓  
$$\frac{1}{2} \|x_i - x_j\|_2^2 \leq \|x_i\|_2^2 + \|x_j\|_2^2$$
  
証明の考えも同じ

18

# 姿勢整列問題に置ける収束の速さとゲーム理論との関係に関する一考察

### グラフ構造と収束の速さ

Tokyo Institute of Technology

**対応関係**

$$\frac{1}{2}\|x_i - x_j\|_2^2 \leq \|x_i\|_2^2 + \|x_j\|_2^2 \quad \text{の証明}$$

$$\|x_i - x_j\|_2^2 = (x_i - x_j)^T (x_i - x_j) = x_i^T x_i - 2x_i^T x_j + x_j^T x_j$$

$$\|x_i + x_j\|_2^2 = (x_i + x_j)^T (x_i + x_j) = x_i^T x_i + 2x_i^T x_j + x_j^T x_j \geq 0$$

$$-2x_i^T x_j \leq x_i^T x_i + x_j^T x_j$$

$$\|x_i - x_j\|_2^2 = x_i^T x_i - 2x_i^T x_j + x_j^T x_j \leq 2x_i^T x_i + 2x_j^T x_j$$

$$\frac{1}{2}\|x_i - x_j\|_2^2 \leq \|x_i\|_2^2 + \|x_j\|_2^2$$

$$\|x_i - x_j\|_2^2 \Leftrightarrow \phi(R_i^T R_j)$$

$$\|x_i + x_j\|_2^2 \Leftrightarrow \phi(R_i R_j)$$

$$\|x_i\|_2^2 \Leftrightarrow \phi(R_i)$$

$$\|x_j\|_2^2 \Leftrightarrow \phi(R_j)$$

$$\frac{1}{2}\|x_i - x_j\|_2^2 \leq \|x_i\|_2^2 + \|x_j\|_2^2 \Leftrightarrow \frac{1}{2}\phi(R_i^T R_j) \leq \phi(R_i) + \phi(R_j)$$

19

### グラフ構造と収束の速さ

Tokyo Institute of Technology

$\text{tr}(I - R_i^T R_j)$

ロドリゲスの公式  $\phi(R_i) := \frac{1}{2} \text{tr}(I_3 - R_i)$

$$R_i = e^{\theta_i \hat{\xi}_i} = I + \sin \theta_i \hat{\xi}_i + (1 - \cos \theta_i) \hat{\xi}_i^2$$

を使うと

$$\text{tr}(I - R_i^T R_j) = \text{tr}(I - R_i) + \text{tr}(I - R_j) + \text{tr}(\sin \theta_i \sin \theta_j \hat{\xi}_i \hat{\xi}_j^T) - \text{tr}((1 - \cos \theta_i)(1 - \cos \theta_j) \hat{\xi}_i \hat{\xi}_j^T)$$

同様に

$$\text{tr}(I - R_i R_j) = \text{tr}(I - R_i) + \text{tr}(I - R_j) - \text{tr}(\sin \theta_i \sin \theta_j \hat{\xi}_i \hat{\xi}_j^T) - \text{tr}((1 - \cos \theta_i)(1 - \cos \theta_j) \hat{\xi}_i \hat{\xi}_j^T)$$

$$\geq 0$$

$$\text{tr}(\sin \theta_i \sin \theta_j \hat{\xi}_i \hat{\xi}_j^T) \leq \text{tr}(I - R_i) + \text{tr}(I - R_j) - \text{tr}((1 - \cos \theta_i)(1 - \cos \theta_j) \hat{\xi}_i \hat{\xi}_j^T)$$

$$\geq 0$$

20

### グラフ構造と収束の速さ

Tokyo Institute of Technology

よって

$$\text{tr}(I - R_i^T R_j) = \text{tr}(I - R_i) + \text{tr}(I - R_j) + \text{tr}(\sin \theta_i \sin \theta_j \hat{\xi}_i \hat{\xi}_j^T) - \text{tr}((1 - \cos \theta_i)(1 - \cos \theta_j) \hat{\xi}_i \hat{\xi}_j^T)$$

$$\leq 2\text{tr}(I - R_i) + 2\text{tr}(I - R_j) - 2\text{tr}((1 - \cos \theta_i)(1 - \cos \theta_j) \hat{\xi}_i \hat{\xi}_j^T)$$

$$\leq 2\text{tr}(I - R_i) + 2\text{tr}(I - R_j) \leq 0$$

$$\frac{1}{4} \text{tr}(I - R_i^T R_j) \leq \frac{1}{2} \text{tr}(I - R_i) + \frac{1}{2} \text{tr}(I - R_j) \quad \phi(R_i) := \frac{1}{2} \text{tr}(I_3 - R_i)$$

$$\frac{1}{2} \phi(R_i^T R_j) \leq \phi(R_i) + \phi(R_j)$$

が成り立つ。

21

### グラフ構造と収束の速さ

Tokyo Institute of Technology

- 姿勢整列問題においても、収束の速さがグラフラプラジアン の 2 番目に小さい固有値  $\lambda_{\min 2}(L)$  に依存することの証明

$$\dot{V} = \sum_{i=1}^n \dot{\phi}(R_i) = \sum_{i=1}^n e_R^T(R_i) \omega_i^b \quad \lambda_{\min}(R_i + R_i^T) = 2 \cos \theta_i(t)$$

$$\leq -\sum_{i=1}^n \sum_{j \in N_i} \frac{1}{2} \lambda_{\min}(R_i + R_j^T) \phi(R_i^T R_j)$$

$$\leq -\frac{\varepsilon}{2} \sum_{i=1}^n \sum_{j \in N_i} \phi(R_i^T R_j) \quad \varepsilon := \min_{i,t} \cos \theta_i(t)$$

$$= -\frac{\varepsilon}{2} \sum_{i=1}^n \sum_{j \in N_i} \frac{1}{2} \text{tr}(I - R_i^T R_j)$$

$$= -\frac{\varepsilon}{4} \text{tr}(R^T (L \otimes I) R) \quad R = \begin{bmatrix} R_1 \\ \vdots \\ R_n \end{bmatrix}$$

22

### グラフ構造と収束の速さ

Tokyo Institute of Technology

- 姿勢整列問題においても、収束の速さがグラフラプラジアン の 2 番目に小さい固有値  $\lambda_{\min 2}(L)$  に依存することの証明

$$\dot{V} = \sum_{i=1}^n \dot{\phi}(R_i) = \sum_{i=1}^n e_R^T(R_i) \omega_i^b \quad \lambda_{\min}(R_i + R_i^T) = 2 \cos \theta_i(t)$$

$$\leq -\frac{\varepsilon}{4} \text{tr}(R^T (L \otimes I) R) \quad \varepsilon := \min_{i,t} \cos \theta_i(t)$$

$$= -\frac{\varepsilon}{4n^2} \text{tr}(R^T (MLM \otimes I) R) \quad R = \begin{bmatrix} R_1 \\ \vdots \\ R_n \end{bmatrix}$$

$$= -\frac{\varepsilon}{4n^2} \text{tr}(R^T (M \otimes I)(L \otimes I)(M \otimes I) R)$$

$$\leq -\frac{\varepsilon}{4n^2} \lambda_{\min 2}(L) \text{tr}(R^T (M \otimes I)(M \otimes I) R)$$

$$\leq -\frac{\varepsilon}{4n} \lambda_{\min 2}(L) \text{tr}(R^T (M \otimes I) R)$$

23

### グラフ構造と収束の速さ

Tokyo Institute of Technology

- 姿勢整列問題においても、収束の速さがグラフラプラジアン の 2 番目に小さい固有値  $\lambda_{\min 2}(L)$  に依存することの証明

$$\dot{V} = \sum_{i=1}^n \dot{\phi}(R_i) = \sum_{i=1}^n e_R^T(R_i) \omega_i^b \quad \lambda_{\min}(R_i + R_i^T) = 2 \cos \theta_i(t)$$

$$\leq -\frac{\varepsilon}{4n} \lambda_{\min 2}(L) \text{tr}(R^T (M \otimes I) R) \quad \varepsilon := \min_{i,t} \cos \theta_i(t)$$

$$\sum_{i=1}^n \phi(R_i(t)) - \sum_{i=1}^n \phi(R_i(0)) \leq \int_0^t -\frac{\varepsilon}{4n} \lambda_{\min 2}(L) \text{tr}(R(\tau)^T (M \otimes I) R(\tau)) d\tau$$

ここで

$$\frac{1}{2} \phi(R_i^T R_j) \leq \phi(R_i) + \phi(R_j) \quad \text{より} \quad R = \begin{bmatrix} R_1 \\ \vdots \\ R_n \end{bmatrix}$$

$$\frac{1}{2} \sum_{i=1}^n \sum_{j=1}^n \phi(R_i^T R_j) \leq \sum_{i=1}^n \sum_{j=1}^n \phi(R_i) + \sum_{i=1}^n \sum_{j=1}^n \phi(R_j)$$

$$\frac{1}{2} \text{tr}(R^T M R) \leq 2n \sum_{i=1}^n \phi(R_i) \quad \text{が成り立つ}$$

24

# 姿勢整列問題にける収束の速さとゲーム理論との関係に関する一考察

## グラフ構造と収束の速さ

Tokyo Institute of Technology

- 姿勢整列問題においても、収束の速さがグラフラプラジアン<sup>2</sup>の2番目に小さい固有値  $\lambda_{\min 2}(L)$  に依存することの証明

$$\dot{V} = \sum_{i=1}^n \dot{\phi}(R_i) = \sum_{i=1}^n e_R^T(R_i) \omega_i^b \quad \lambda_{\min}(R_i + R_i^T) = 2 \cos \theta_i(t)$$

$$\sum_{i=1}^n \phi(R_i(t)) - \sum_{i=1}^n \phi(R_i(0)) \leq \int_0^t -\frac{\varepsilon}{4n} \lambda_{\min 2}(L) \text{tr}(R(\tau)^T (M \otimes I) R(\tau)) d\tau$$

$$\frac{1}{2} \text{tr}(R^T M R) \leq 2n \sum_{i=1}^n \phi(R_i) \quad \text{よ} \quad \varepsilon := \min_{i,j} \cos \theta_{i,j}(t) \quad R = \begin{bmatrix} R_1 \\ \vdots \\ R_n \end{bmatrix}$$

$$\text{tr}(R(t)^T (M \otimes I) R(t)) \leq 4n \sum_{i=1}^n \phi(R_i(0)) - \lambda_{\min 2}(L) \varepsilon \int_0^t \text{tr}(R(\tau)^T (M \otimes I) R(\tau)) d\tau$$

Tokyo Institute of Technology Fujita Laboratory 25

## グラフ構造と収束の速さ

Tokyo Institute of Technology

$$\text{tr}(R(t)^T (M \otimes I) R(t)) \leq 4n \sum_{i=1}^n \phi(R_i(0)) - \lambda_{\min 2}(L) \varepsilon \int_0^t \text{tr}(R(\tau)^T (M \otimes I) R(\tau)) d\tau$$

グロンウォール・ベルマン不等式

$$\alpha(t) \leq \gamma(t) + \int_s^t \beta(\tau) \alpha(\tau) d\tau \quad (s < t)$$

$$\Rightarrow \alpha(t) \leq \gamma(t) + \int_s^t \beta(\tau) \gamma(\tau) \exp\left\{ \int_s^t \beta(\sigma) d\sigma \right\} d\tau$$

$$\alpha(t) \Leftrightarrow \text{tr}(R(t)^T (M \otimes I) R(t))$$

$$\gamma(t) \Leftrightarrow 4n \sum_{i=1}^n \phi(R_i(0))$$

$$\beta(t) \Leftrightarrow -\lambda_{\min 2}(L) \varepsilon$$

$$\text{tr}(R(t)^T (M \otimes I) R(t)) \leq 4n \sum_{i=1}^n \phi(R_i(0)) e^{-\lambda_{\min 2}(L) \varepsilon t}$$

$$\lambda_{\min 2}(L) \xrightarrow{\text{緑}} \text{収束が早い}$$

$$R = \begin{bmatrix} R_1 \\ \vdots \\ R_n \end{bmatrix} \quad \varepsilon := \min_{i,j} \cos \theta_{i,j}(t)$$

Tokyo Institute of Technology Fujita Laboratory 26

## シミュレーション

Tokyo Institute of Technology

各エージェントの位置      各エージェントの位置

ポテンシャル関数

Tokyo Institute of Technology Fujita Laboratory 27

## まとめ

Tokyo Institute of Technology

- 各エージェントの3次元運動モデル ( $i = 1, \dots, n$ )
  - $\dot{p}_i = R_i v_i$        $p_i \in \mathcal{R}^3$  位置
  - $\dot{R}_i = R_i \hat{\omega}_i$        $R_i \in SO(3)$  姿勢
  - 制御入力
  - $v_i \in \mathcal{R}^3$  並進速度
  - $\omega_i = \sum_{j \in \mathcal{N}_i} e_R(R_{ij})$        $\omega_i \in \mathcal{R}^3$  角速度
- 仮定
  - グラフは**平衡**, 固定, 連結  $R_i > 0 \quad \forall i$
- 収束の速さ
  - $\text{tr}(R(t)^T (M \otimes I) R(t)) \leq 4n \sum_{i=1}^n \phi(R_i(0)) e^{-\lambda_{\min 2}(L) \varepsilon t}$
  - $\lambda_{\min 2}(L) \xrightarrow{\text{緑}} \text{収束が早い}$

Tokyo Institute of Technology Fujita Laboratory 28

## 合意問題とゲーム理論

Tokyo Institute of Technology

- 合意問題とゲーム理論

逆最適性を使用した解析

$$V = x^T Lx \quad \dot{x} = u$$

$$\dot{V} = 2x^T L u$$

$$= -kx^T L^T Lx - \frac{1}{k} u^T u + \frac{1}{k} (u + kLx)^T (u + kLx)$$

$$kx^T L^T Lx + \frac{1}{k} u^T u = \frac{1}{k} (u + kLx)^T (u + kLx) - \dot{V}$$

$$\int_0^\infty kx^T L^T Lx + \frac{1}{k} u^T u dt = \int_0^\infty \frac{1}{k} (u + kLx)^T (u + kLx) dt - \int_0^\infty \dot{V} dt$$

$$\int_0^\infty kx^T L^T Lx + \frac{1}{k} u^T u dt = \int_0^\infty \frac{1}{k} (u + kLx)^T (u + kLx) dt + V(0)$$

評価関数      最適制御      逆最適制御

↓      ↑

入力

$$x = \begin{bmatrix} x_1 \\ \vdots \\ x_n \end{bmatrix}$$

Tokyo Institute of Technology Fujita Laboratory 29

## 合意問題とゲーム理論

Tokyo Institute of Technology

- 合意問題とゲーム理論

逆最適性を使用した解析

$$\int_0^\infty kx^T L^T Lx + \frac{1}{k} u^T u dt = \int_0^\infty \frac{1}{k} (u + kLx)^T (u + kLx) dt + V(0)$$

よ}  $\int_0^\infty kx^T L^T Lx + \frac{1}{k} u^T u dt$  を最小にする入力

$$u = -kLx$$

である.

$$kx^T L^T Lx = \sum_{i=1}^n \left( \sum_{j \in \mathcal{N}_i} (x_i - x_j) \right)^2 \quad u^T u = \sum_{i=1}^n (u_i^T u_i)^2$$

よ}  $\int_0^\infty kx^T L^T Lx + \frac{1}{k} u^T u dt = \sum_{i=1}^n \int_0^\infty \left( \sum_{j \in \mathcal{N}_i} (x_i - x_j) \right)^2 + (u_i^T u_i)^2 dt$

Tokyo Institute of Technology Fujita Laboratory 30

# 姿勢整列問題にける収束の速さとゲーム理論との関係に関する一考察

## 合意問題とゲーム理論

Tokyo Institute of Technology

- 合意問題とゲーム理論
  - 逆最適性を使用した解析

$$\int_0^{\infty} kx^T L^T Lx + \frac{1}{k} u^T u dt = \sum_{i=1}^n \int_0^{\infty} \left( \sum_{j \in N_i} (x_i - x_j) \right)^2 + (u_i^T u_i)^2 dt$$

個々のエージェントは

$$J = \int_0^{\infty} \left( \sum_{j \in N_i} (x_i - x_j) \right)^2 + (u_i^T u_i)^2 dt$$

近傍のエージェントの状態を最小化していると見ることができる。

Tokyo Institute of Technology Fujita Laboratory 31

## 姿勢整列問題とゲーム理論

Tokyo Institute of Technology

- 姿勢整列問題とゲーム理論
  - 逆最適性を使用した解析
- 各エージェントの3次元運動モデル
  - $\dot{p}_i = R_i v_i$
  - $\dot{R}_i = R_i \hat{\omega}_i$
- ポテンシャル関数
  - $V = 2 \sum_{i=1}^n \sum_{j \in N_i} \phi(R_i^T R_j) := 2 \sum_{i=1}^n \frac{1}{2} \text{tr}(I_3 - R_i^T R_j)$
  - $\dot{V} = 2 \sum_{i=1}^n \sum_{j \in N_i} e_R^T(R_i^T R_j) \omega_i \quad \omega_i = \sum_{j \in N_i} e_R(R_{ij})$
  - $= 2 \sum_{i=1}^n \left( \sum_{j \in N_i} e_R^T(R_i^T R_j) \right) \omega_i$

評価関数  
最適制御 ↓ ↑ 逆最適制御  
入力

Tokyo Institute of Technology Fujita Laboratory 32

## 姿勢整列問題とゲーム理論

Tokyo Institute of Technology

- 姿勢整列問題とゲーム理論
  - 逆最適性を使用した解析

評価関数  
最適制御 ↓ ↑ 逆最適制御  
入力

$$\dot{V} = 2 \sum_{i=1}^n \sum_{j \in N_i} e_R^T(R_i^T R_j) \omega_i$$

$$= -2 \sum_{i=1}^n \left( \sum_{j \in N_i} e_R^T(R_i^T R_j) \right) \omega_i$$

$$= -k \sum_{i=1}^n \left( \sum_{j \in N_i} e_R^T(R_i^T R_j) \right) \left( \sum_{j \in N_i} e_R(R_i^T R_j) \right) - \frac{1}{k} \sum_{i=1}^n \omega_i^T \omega_i + \frac{1}{k} \sum_{i=1}^n \left\| k \sum_{j \in N_i} e_R(R_i^T R_j) - \omega_i \right\|^2$$

$$\int_0^{\infty} k \sum_{i=1}^n \left( \sum_{j \in N_i} e_R^T(R_i^T R_j) \right) \left( \sum_{j \in N_i} e_R(R_i^T R_j) \right) + \frac{1}{k} \sum_{i=1}^n \omega_i^T \omega_i dt = \int_0^{\infty} \frac{1}{k} \sum_{i=1}^n \left\| k \sum_{j \in N_i} e_R(R_i^T R_j) - \omega_i \right\|^2 - \dot{V} dt$$

Tokyo Institute of Technology Fujita Laboratory 33

## 姿勢整列問題とゲーム理論

Tokyo Institute of Technology

- 姿勢整列問題とゲーム理論
  - 逆最適性を使用した解析

評価関数  
最適制御 ↓ ↑ 逆最適制御  
入力

$$\sum_{i=1}^n \int_0^{\infty} k \sum_{j \in N_i} \left( \sum_{j \in N_i} e_R^T(R_i^T R_j) \right) \left( \sum_{j \in N_i} e_R(R_i^T R_j) \right) + \frac{1}{k} \omega_i^T \omega_i dt$$

$$= \int_0^{\infty} \frac{1}{k} \sum_{i=1}^n \left\| k \sum_{j \in N_i} e_R(R_i^T R_j) - \omega_i \right\|^2 - \dot{V} dt$$

$$\sum_{i=1}^n \int_0^{\infty} k \sum_{j \in N_i} \left( \sum_{j \in N_i} e_R^T(R_i^T R_j) \right) \left( \sum_{j \in N_i} e_R(R_i^T R_j) \right) + \frac{1}{k} \omega_i^T \omega_i dt$$

$$= \int_0^{\infty} \frac{1}{k} \sum_{i=1}^n \left\| k \sum_{j \in N_i} e_R(R_i^T R_j) - \omega_i \right\|^2 dt + V(0) dt$$

Tokyo Institute of Technology Fujita Laboratory 34

## 姿勢整列問題とゲーム理論

Tokyo Institute of Technology

- 姿勢整列問題とゲーム理論
  - 逆最適性を使用した解析

よって

$$\sum_{i=1}^n \int_0^{\infty} k \left( \sum_{j \in N_i} e_R^T(R_i^T R_j) \right) \left( \sum_{j \in N_i} e_R(R_i^T R_j) \right) + \frac{1}{k} \omega_i^T \omega_i dt$$

を最適にする入力

$$\omega_i = \sum_{j \in N_i} e_R(R_{ij})$$

である。

また、個々のエージェントは

$$\int_0^{\infty} k \left( \sum_{j \in N_i} e_R^T(R_i^T R_j) \right) \left( \sum_{j \in N_i} e_R(R_i^T R_j) \right) + \frac{1}{k} \omega_i^T \omega_i dt$$

を最小化していると見ることができる。

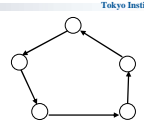
評価関数  
最適制御 ↓ ↑ 逆最適制御  
入力

Tokyo Institute of Technology Fujita Laboratory 35

## まとめ

Tokyo Institute of Technology

- 解析
  - 個々のエネルギー関数
    - $V = \sum_{i=1}^n \phi(R_i) := \sum_{i=1}^n \frac{1}{2} \text{tr}(I_3 - R_i)$
  - 仮定 グラフは平衡、固定、強連結  $R_i > 0 \quad \forall i$
- グラフの構造と収束の速さ
  - $\text{tr}(R(t)^T (M \otimes I) R(t)) \leq 4n \sum_{i=1}^n \phi(R_i(0)) e^{-\lambda_{\min 2}(L)t}$
  - $\lambda_{\min 2}(L) \rightarrow \text{収束が早い}$
- 微分ゲームとの関係
  - 個々のエージェントは
    - $\int_0^{\infty} k \left( \sum_{j \in N_i} e_R^T(R_i^T R_j) \right) \left( \sum_{j \in N_i} e_R(R_i^T R_j) \right) + \frac{1}{k} \omega_i^T \omega_i dt$
  - を最小化していると見ることができる。



Tokyo Institute of Technology Fujita Laboratory 36

# 姿勢整列問題に置ける収束の速さとゲーム理論との関係に関する一考察

**付録**

Tokyo Institute of Technology

37

**証明の補足**

Tokyo Institute of Technology

$$a \in R^{3 \times 1} \quad b \in R^{3 \times 1} \quad a^T b = -\frac{1}{2} \text{tr}(\hat{a}\hat{b})$$

$$a = \begin{bmatrix} a_1 \\ a_2 \\ a_3 \end{bmatrix} \quad b = \begin{bmatrix} b_1 \\ b_2 \\ b_3 \end{bmatrix} \quad a^T b = a_1 b_1 + a_2 b_2 + a_3 b_3$$

$$\text{tr}(\hat{a}\hat{b}) = \text{tr} \left( \begin{bmatrix} 0 & -a_3 & a_2 \\ a_3 & 0 & -a_1 \\ -a_2 & a_1 & 0 \end{bmatrix} \begin{bmatrix} 0 & -b_3 & b_2 \\ b_3 & 0 & -b_1 \\ -b_2 & b_1 & 0 \end{bmatrix} \right)$$

$$= \text{tr} \left( \begin{bmatrix} -a_3 b_3 - a_2 b_2 & & * \\ & -a_3 b_3 - a_1 b_1 & \\ * & & -a_2 b_2 - a_1 b_1 \end{bmatrix} \right)$$

$$= -2(a_1 b_1 + a_2 b_2 + a_3 b_3)$$

38

**証明の補足**

Tokyo Institute of Technology

性質 1

$$-\frac{\pi}{2} < \theta < \frac{\pi}{2} \quad \cos \theta = \frac{\text{tr}(R) - 1}{2} \quad \text{ならば回転行列 } R \text{ は正定行列}$$

証明

$$= x^T x - x^T x + \cos \theta x^T x (1 - \cos \theta) x^T \xi \xi^T x$$

ロドリゲスの公式より([1], p.28)

$$R = e^{\hat{\xi}\theta} = I + \sin \theta \hat{\xi} + (1 - \cos \theta) \hat{\xi}^2 \quad 0 < \cos \theta \leq 1$$

が成り立つ。この二次形式を考えると  $0 \leq (1 - \cos \theta) < 1$

$$x^T R x = x^T (I + \sin \theta \hat{\xi} + (1 - \cos \theta) \hat{\xi}^2) x$$

$$= x^T x + \sin \theta x^T \hat{\xi} x + (1 - \cos \theta) x^T \hat{\xi}^2 x$$

$$= x^T x + (1 - \cos \theta) x^T \hat{\xi}^2 x$$

$$= x^T x + (1 - \cos \theta) x^T (\xi \xi^T - \|\xi\|_2^2 I) x$$

よって  $x^T R x > 0$  が成り立つ回転行列は正定行列

39

**証明の補足**

Tokyo Institute of Technology

$$x^T R x = x^T (I + \sin \theta \hat{\xi} + (1 - \cos \theta) \hat{\xi}^2) x$$

$$= x^T x + (1 - \cos \theta) x^T (\xi \xi^T - I) x$$

$$= \cos \theta x^T x + (1 - \cos \theta) x^T \xi \xi^T x > 0$$

$$-\frac{\pi}{2} < \theta < \frac{\pi}{2} \quad \longrightarrow \quad 0 < \cos \theta \leq 1$$

$$0 \leq (1 - \cos \theta) < 1$$

よって  $x^T R x > 0$  が成り立つ回転行列は正定行列

40

**証明の補足**

Tokyo Institute of Technology

$R_i^T R_j$  にロドリゲスの公式を使うと

$$R_i^T R_j = (I + \sin \theta_i \hat{\xi}_i + (1 - \cos \theta_i) \hat{\xi}_i^2)^T (I + \sin \theta_j \hat{\xi}_j + (1 - \cos \theta_j) \hat{\xi}_j^2)$$

$$= I + \sin \theta_j \hat{\xi}_j + (1 - \cos \theta_j) \hat{\xi}_j^2 - \sin \theta_i \hat{\xi}_i - \sin \theta_i \sin \theta_j \hat{\xi}_i \hat{\xi}_j - \sin \theta_i (1 - \cos \theta_j) \hat{\xi}_i \hat{\xi}_j^2$$

$$+ (1 - \cos \theta_i) \hat{\xi}_i^2 + \sin \theta_j (1 - \cos \theta_i) \hat{\xi}_j \hat{\xi}_i^2 + (1 - \cos \theta_i) (1 - \cos \theta_j) \hat{\xi}_i^2 \hat{\xi}_j^2$$

$\text{tr}(R_i^T R_j)$

$$= \text{tr} \left( \underbrace{I + \sin \theta_j \hat{\xi}_j + (1 - \cos \theta_j) \hat{\xi}_j^2}_{=0} - \underbrace{\sin \theta_i \hat{\xi}_i}_{=0} - \underbrace{\sin \theta_i \sin \theta_j \hat{\xi}_i \hat{\xi}_j}_{=0} - \underbrace{\sin \theta_i (1 - \cos \theta_j) \hat{\xi}_i \hat{\xi}_j^2}_{=0} \right)$$

$$+ \text{tr} \left( \underbrace{(1 - \cos \theta_i) \hat{\xi}_i^2}_{=0} + \underbrace{\sin \theta_j (1 - \cos \theta_i) \hat{\xi}_j \hat{\xi}_i^2}_{=0} + \underbrace{(1 - \cos \theta_i) (1 - \cos \theta_j) \hat{\xi}_i^2 \hat{\xi}_j^2}_{=0} \right)$$

$$= \text{tr} \left( I + (1 - \cos \theta_j) \hat{\xi}_j^2 - \sin \theta_i \sin \theta_j \hat{\xi}_i \hat{\xi}_j + (1 - \cos \theta_i) \hat{\xi}_i^2 + (1 - \cos \theta_i) (1 - \cos \theta_j) \hat{\xi}_i^2 \hat{\xi}_j^2 \right)$$

41

**証明の補足**

Tokyo Institute of Technology

$$\text{tr}(I - R_i^T R_j)$$

$$= \text{tr} \left( - (1 - \cos \theta_j) \hat{\xi}_j^2 + \sin \theta_i \sin \theta_j \hat{\xi}_i \hat{\xi}_j - (1 - \cos \theta_i) \hat{\xi}_i^2 - (1 - \cos \theta_i) (1 - \cos \theta_j) \hat{\xi}_i^2 \hat{\xi}_j^2 \right)$$

同様に

$$R_i R_j = (I + \sin \theta_i \hat{\xi}_i + (1 - \cos \theta_i) \hat{\xi}_i^2) (I + \sin \theta_j \hat{\xi}_j + (1 - \cos \theta_j) \hat{\xi}_j^2)$$

$$= I + \sin \theta_j \hat{\xi}_j + (1 - \cos \theta_j) \hat{\xi}_j^2 + \sin \theta_i \hat{\xi}_i + \sin \theta_i \sin \theta_j \hat{\xi}_i \hat{\xi}_j + \sin \theta_i (1 - \cos \theta_j) \hat{\xi}_i \hat{\xi}_j^2$$

$$+ (1 - \cos \theta_i) \hat{\xi}_i^2 + \sin \theta_j (1 - \cos \theta_i) \hat{\xi}_j \hat{\xi}_i^2 + (1 - \cos \theta_i) (1 - \cos \theta_j) \hat{\xi}_i^2 \hat{\xi}_j^2$$

$\text{tr}(R_i R_j)$

$$= \text{tr} \left( \underbrace{I + \sin \theta_j \hat{\xi}_j + (1 - \cos \theta_j) \hat{\xi}_j^2}_{=0} + \underbrace{\sin \theta_i \hat{\xi}_i}_{=0} + \underbrace{\sin \theta_i \sin \theta_j \hat{\xi}_i \hat{\xi}_j}_{=0} + \underbrace{\sin \theta_i (1 - \cos \theta_j) \hat{\xi}_i \hat{\xi}_j^2}_{=0} \right)$$

$$+ \text{tr} \left( \underbrace{(1 - \cos \theta_i) \hat{\xi}_i^2}_{=0} + \underbrace{\sin \theta_j (1 - \cos \theta_i) \hat{\xi}_j \hat{\xi}_i^2}_{=0} + \underbrace{(1 - \cos \theta_i) (1 - \cos \theta_j) \hat{\xi}_i^2 \hat{\xi}_j^2}_{=0} \right)$$

$$= \text{tr} \left( I + (1 - \cos \theta_j) \hat{\xi}_j^2 + \sin \theta_i \sin \theta_j \hat{\xi}_i \hat{\xi}_j + (1 - \cos \theta_i) \hat{\xi}_i^2 + (1 - \cos \theta_i) (1 - \cos \theta_j) \hat{\xi}_i^2 \hat{\xi}_j^2 \right)$$

42

# 姿勢整列問題にける収束の速さとゲーム理論との関係に関する一考察

**証明の補足** Tokyo Institute of Technology

$$\begin{aligned} & \text{tr}(I - R_i R_j) \\ &= \text{tr}\left(-\frac{\varepsilon^2}{4n^2}(1-\cos\theta_j)\zeta_j^2 - \sin\theta_i \sin\theta_j \frac{\varepsilon^2}{\zeta_i \zeta_j} - (1-\cos\theta_i)\zeta_i^2 - (1-\cos\theta_i)(1-\cos\theta_j)\frac{\varepsilon^2}{\zeta_i \zeta_j}\right) \\ & \text{tr}(I - R_i^T R_j) \\ &= \text{tr}\left(-\frac{\varepsilon^2}{4n^2}(1-\cos\theta_j)\zeta_j^2 + \sin\theta_i \sin\theta_j \frac{\varepsilon^2}{\zeta_i \zeta_j} - (1-\cos\theta_i)\zeta_i^2 - (1-\cos\theta_i)(1-\cos\theta_j)\frac{\varepsilon^2}{\zeta_i \zeta_j}\right) \\ &= \text{tr}(I - R_i) \qquad \qquad \qquad = \text{tr}(I - R_j) \\ &= \text{tr}(I - R_i) + \text{tr}(I - R_j) + \text{tr}\left(\sin\theta_i \sin\theta_j \frac{\varepsilon^2}{\zeta_i \zeta_j} - (1-\cos\theta_i)(1-\cos\theta_j)\frac{\varepsilon^2}{\zeta_i \zeta_j}\right) \\ & \text{tr}(I - R_i R_j) \\ &= \text{tr}\left(-\frac{\varepsilon^2}{4n^2}(1-\cos\theta_j)\zeta_j^2 - \sin\theta_i \sin\theta_j \frac{\varepsilon^2}{\zeta_i \zeta_j} - (1-\cos\theta_i)\zeta_i^2 - (1-\cos\theta_i)(1-\cos\theta_j)\frac{\varepsilon^2}{\zeta_i \zeta_j}\right) \\ &= \text{tr}(I - R_i) \qquad \qquad \qquad = \text{tr}(I - R_j) \\ &= \text{tr}(I - R_i) + \text{tr}(I - R_j) + \text{tr}\left(-\sin\theta_i \sin\theta_j \frac{\varepsilon^2}{\zeta_i \zeta_j} - (1-\cos\theta_i)(1-\cos\theta_j)\frac{\varepsilon^2}{\zeta_i \zeta_j}\right) \end{aligned}$$

Tokyo Institute of Technology Fujita Laboratory 43

**クーラン・フィッシャーの(ミニマックス)定理** Tokyo Institute of Technology

クーラン・フィッシャーの(ミニマックス)定理

$\lambda_2(A)$  を  $A$  の2番目に小さい固有値とすると

$$\lambda_2(A) = \min_{x \perp u_1} \frac{x^T A x}{x^T x}$$

が成り立つ。ここで、 $u_1$  は一番小さい固有値に対する固有ベクトル

グラフラジアン  $L$  の

一番小さい固有値は  $\lambda_1(L) = 0$   $1 = \begin{bmatrix} 1 \\ \vdots \\ 1 \end{bmatrix}$

その固有値ベクトルは  $u_1 = 1$

なので

$$\lambda_2(L) = \min_{x \perp 1} \frac{x^T A x}{x^T x} \quad x \perp 1 \Leftrightarrow x^T 1 = 0$$

Tokyo Institute of Technology Fujita Laboratory 44

**証明の補足** Tokyo Institute of Technology

$$-\frac{\varepsilon}{4n^2} \text{tr}(R^T (M \otimes I)(L \otimes I)(M \otimes I)R) \leq -\frac{\varepsilon}{4n^2} \lambda_{\min 2}(L) \text{tr}(R^T (M \otimes I)(M \otimes I)R)$$

の証明

$$\begin{aligned} ((M \otimes I)R x)^T 1_{3n} &= x^T R^T (M \otimes I) 1_{3n} \\ &= x^T R^T (M \otimes I)(1_n \otimes 1_3) \\ &= x^T R^T ((M 1_n) \otimes (1_3)) \\ &= 0 \end{aligned}$$

より

$$\lambda_{\min 2}(L) x^T R^T (M \otimes I)(M \otimes I)x \leq x^T R^T (M \otimes I)(L \otimes I)(M \otimes I)x$$

$$x^T R^T (M \otimes I)((L - \lambda_{\min 2}(L)I_n) \otimes I)(M \otimes I)x \geq 0$$

$$R^T (M \otimes I)((L - \lambda_{\min 2}(L)I_n) \otimes I)(M \otimes I) \geq 0$$

は準正定行列であることがわかる。

Tokyo Institute of Technology Fujita Laboratory 45

**証明の補足** Tokyo Institute of Technology

一般的に  $A$  と  $B$  が対称行列であり、 $B$  が準正定行列ならば以下の不等式が成り立つ

$$\lambda_i(A+B) \geq \lambda_i(B)$$

これを使うと

$$\begin{aligned} -\lambda_{\min 2}(L) \lambda_i(R^T (M \otimes I)(M \otimes I)R) &= \\ \lambda_i(R^T (M \otimes I)((L - \lambda_{\min 2}(L)I_n) \otimes I)(M \otimes I)R) &- R^T (M \otimes I)(L \otimes I)(M \otimes I)R \\ -\lambda_{\min 2}(L) \lambda_i(R^T (M \otimes I)(M \otimes I)R) &\geq \\ -\lambda_i(R^T (M \otimes I)(L \otimes I)(M \otimes I)R) & \\ -\lambda_{\min 2}(L) \text{tr}(R^T (M \otimes I)(M \otimes I)R) &\geq \\ -\text{tr}(R^T (M \otimes I)(L \otimes I)(M \otimes I)R) & \end{aligned}$$

となる。

Tokyo Institute of Technology Fujita Laboratory 46